

## محاكاة تقدير معلمات توزيع معكوس كاما النصف دائري المحول مع بعض الخصائص Simulated estimation parameters of an inverse gamma distribution of a semicircular transformer with some properties

أ. د. مهدي وهاب نصر الله
Dr.. Mahdi Wahab Nasrallah
جامعة كربلاء-كلية الادارة والاقتصاد
University of Karbala - College of
Administration and Economics
mehdi.wahab@uokerbala.edu.iq

عمار محمد جاسم Ammar Mohammed Jassim جامعة كريلاء-كلية الادارة والاقتصاد University of Karbala - College of Administration and Economics ammar.m@s.uokerbala.edu.ig

المستخلص: في هذا البحث, تم تقدير معلمات توزيع معكوس كاما النصف الدائري المحول (HCTIG) باستعمال طريقة الامكان الاعظم (Maximum Likelihood method) باستعمال محاكاة مونت-كارلوا عن طريق برنامج ماتلاب (Moments Method) وطريقة العزوم (Maximum Likelihood method) باستعمال محاكاة مونت-كارلوا عن طريق برنامج ماتلاب MatLab (Maximum Likelihood method) هي  $\alpha=0.1,2,6$  هي  $\alpha=0.1,2,6$  و احجام عينات مختلفة (25,50،75،100) اذ تم توليد بيانات المتغير العشوائي الذي يتبع توزيع HCTIG وتم تقدير معلمات التوزيع باستعمال الطريقتين, وكذلك تمت المقارنة بين توزيع كاما المعكوس النصف دائري المحول وتوزيع كاما الاعتيادي باستعمال معايير المقارنة AIC و AIC و (Unimodality function) وتم HQIC و كذلك ايجاد بعض خصائص التوزيع المحول مثل الدائم الدائري المحول افضل من توزيع كاما، كذلك تفوق طريقة الامكان الأعظم على التوصل من خلال تجارب المحاكاة ان توزيع معكوس كاما الدائري المحلمات المقدرة للتوزيع المحول النصف دائري اقرب الى المعلمات المقدرة التوزيع المحول النصف دائري اقرب الى المعلمات الافترا صنية.

الكلمات المفتاحية: توزيع معكوس كاما النصف دائري، دالة الكثافة التوزيعية، الدالة الاحادية النمط، الامكان الأعظم، العزوم.

**Abstract:** In this research, the parameters of the transformed semicircular inverse gamma distribution (HCTIG) were estimated using the Maximum Likelihood method and the Moments Method using Monte–Carlo simulation by MatLab program assuming three sets of default values for ( $\alpha$ ,  $\beta$ ) are  $\alpha = 0.1, 2, 6$  and  $\beta = 0.2, 0.1, 8$ , and different sample sizes (25, 50, 75, 100) as the random variable data that follows the HCTIG distribution were generated and the distribution parameters were estimated using the two methods. Also, a comparison was made between the transformed semi–circular inverse gamma distribution and the normal gamma distribution using comparison criteria AIC, BAIC, AICc and HQIC, as well as finding some properties of the transformed distribution such as the distributive function, moments and the Unimodality function. It was concluded through the simulation experiments that the distribution of the circular inverse gamma transformer is better than the gamma distribution, as well as the greatest possibility method is superior to the method of moments at large sample sizes and for all simulation experiments, and that the estimated parameters of the semicircular transformed distribution are closer to the default parameters.

**Keywords:** semicircular inverse gamma distribution, cumulative distribution function, Unimodality function, Maximum Likelihood method, moment's method.

1. المقدمة: يشير مصطلح البيانات الدائرية إلى المشاهدات المقاسة بالراديان (الزوايا النصف قطرية) أو بالدرجات. ويمكن العثور على وهذه البيانات في العديد من المجالات المختلفة مثل الأرصاد الجوية و علم الأحياء والعلوم الطبية (Batto & Jammalamdaka (الحياء والعلوم الطبية العدائرية على أنها البيانات الموزعة (Lund 1999 ؛ Pammalamadaka & SenGupta 2001). ويمكن تصور البيانات الدائرية على أنها البيانات الموزعة على مديط دائرة الوحدة (root circular). والتوزيع الدائري الأكثر شيوعًا هو توزيع فون مايزس ذو المعلمتين (Two)



Parammeters Von-Mises distribution، والذي يمكن تقريبه من خلال التوزيع الطبيعي بالاستناد الى نظرية الغاية المركزية. تم اقتراح توزيعات بسيطة أخرى في سياق التوزيعات الخطية الملتفة، على سبيل المثال ، توزيع كوشي العادية والملتفة.

في السنوات الأخيرة ، تم اقتراح توزيعات دائرية أكثر تفصيلاً وتم تطبيقها بنجاح على البيانات الحقيقية. اقترح Minh and) توزيعات جديدة محددة على الخط الحقيقي للحث على التوزيعات على الدائرة باستخدام الإسقاط المجسم العكسي. لقد أظهروا أن المتغير الخطي X الناجم عن متغير له متغير يتوزع توزيع منتظم بالمتغير  $\theta$  على الفترة  $(-\pi, \pi)$  له توزيع كوشي في  $(-\infty, \infty)$ .

اقترح (2005) Jones and Pewsey عائلة جديدة من التوزيعات أحادية الوسائط المتماثلة على دائرة الوحدة التي تضمنت على التوزيع المنتظم, فون مايزس (Von Mises distribution), وتوزيع كوشي الملتف المنتظم, فون مايزس (Cauchy distribution), وان الشكل الأساسي لدالة الكثافة الاحتمالية لهذه العائلة يكون بسيط للغاية ، على الرغم من أن ثابت تطبيعها مرتبط بدالة (Legendre). في اخترع Kato and Jones عائلة توزيعات من اربعة معلمات على دائرة الوحدة عبر تحويل موبيوس(Möbius transformation) الذي يحتوي على توزيعات فون مايزس وتوزيع كوشي الملتف, وهذه التوزيعات تكون مفيدة لمجموعات البيانات الموزعة بشكل غير متماثل على دائرة الوحدة. اقترح (2010) Abe et al. (2010 عائلة جديدة من التوزيعات الاحادية الوسائط المعدلة لـ Minh and الموزيعات الاحادية الوسائط المعدلة لـ Jones and Pewsey (2005) الموذج دائري غير متماثل. يُعرف أيضًا باسم توزيع القيمة المتطرفة بتضمين دالة Appell . في عام 2012 اقترح (Phani et al) انموذج دائري غير متماثل. يُعرف أيضًا باسم توزيع القيمة المتطرفة المجسم ويتم تطويره باستخدام الإسقاط المجسم العكسي.

في هذا البحث ، سيتم استعمال توزيع جديد مقيد بنطاق معين من مدى دائرة الوحدة. باستعمال أحد هذه التوزيعات هو التوزيع المحوري الذي يفترض أن الزوايا  $\theta$  و  $\theta$  درجة تكون متساوية (Alldredge et al. 1974) و  $\theta$  درجة تكون متساوية (2000). وإيجاد توزيع بمشهادات تقع بدقة على نصف دائرة الوحدة ، على سبيل المثال في الفترة [ $\theta$  ،  $\theta$  ) بالراديان ، باستخدام الإسقاط المجسم العكسي. من المهم أن يكون هنالك توزيع نصـف دائري طالما ان النماذج الأخـــرى تقع في نطاق الفترة ( $\theta$  ،  $\theta$  ) علاوة على ذلك ، فإن الخاصية الدورية للبيانات الدائرية ليست مفيدة للبيانات نصف الدائرية لأن  $\theta$  ° ليس هو مثل 180 درجة. (Rambli et al , 2019)

#### 2. توزيع معكوس كاما النصف دائري المحول (HCTIG):

لنفرض انه لدينا المتغير العشوائي X له توزيع كاما بالمعلمتين  $(\alpha, \beta)$  حيث ان  $\alpha$  معلمة الشكل  $\beta$  معلمة القياس وفان دالة الكثافة الاحتمالية للمتغير العشوائب X تعطى بالصيغة الآتية:

$$f(x,\alpha,\beta) = \frac{1}{\Gamma(\alpha)\beta^{\alpha}} x^{\alpha-1} exp^{(-\frac{x}{\beta})} I_{(0,\infty)}$$
 (1)

اذ ان  $\Gamma(\alpha)$  تعرف بدالة كاما والتي تحسب كما يأتي :

$$\Gamma(\alpha) = \int_0^\infty x^{\alpha - 1} e^{-x} dx = (\alpha - 1)! \tag{2}$$

عندما تكون قيمة  $\alpha$  عدد صحيح موجب, اما عندما تكون قيمة  $\alpha$  عدد غير صحيح عندئذ يتم احتسابها كالآتى:

$$\Gamma\left(\alpha + \frac{1}{2}\right) = \frac{1.2.5...(\alpha - 1)}{2\alpha}\sqrt{\pi} \tag{3}$$

ويعرف توزيع كاما بأسم توزيع اير لانك (Erlang distribution) اذا كانت قيمة ( $\alpha$ ) عدد صحيح.

.  $(2/\sqrt{lpha})$  و 0>0 و فان التوزيع يكون ملتو بمقياس الالتواء eta>0

فان توزيع كاما المعكوس النصف دائري يرمز له  $HCTIG(\alpha, \beta)$  يمكن الحصول عليه باستعمال التحويل :

(Wang, M-Z. & Shimizu, K. 2012)

 $\theta = 2tan^{-1}x$ 



 $(0,\pi)$  بحيث ان  $\theta$  تعطى ضمن الفترة

ليكن  $m(\theta) = \tan\left(\frac{\theta}{2}\right)$  يعطى بالشكل الآتي:

$$g(\theta) = |m'(\theta)|f(m(\theta)) \tag{4}$$

ومن معادلة (4) سنحصل على الآتي:

$$|m'(\theta)| = |\frac{1}{2}sec^{2}\left(\frac{\theta}{2}\right)| = \frac{1}{2}\left(1 + tan^{2}\left(\frac{\theta}{2}\right)\right)$$

$$= \frac{1}{2}\left(1 + \frac{1 - \cos(2\left(\frac{\theta}{2}\right))}{1 + \cos 2\left(\left(\frac{\theta}{2}\right)\right)}\right)$$

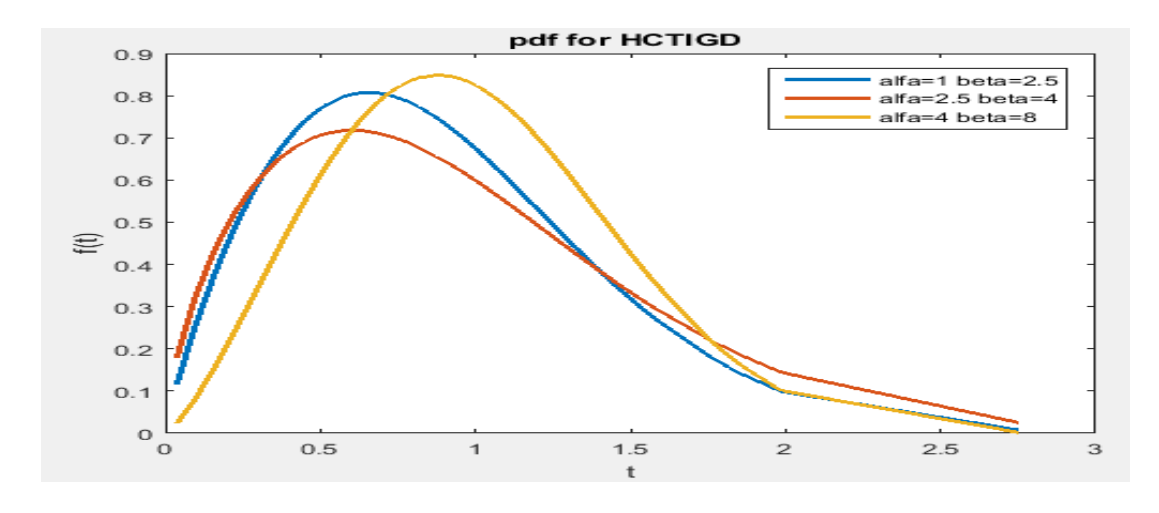
$$= \frac{1}{1 + \cos(\theta)}$$
(5)

وأن:

$$f[m(\theta)] = \frac{1}{\Gamma(\alpha)\beta^{\alpha}} \tan\left(\frac{\theta}{2}\right)^{\alpha - 1} exp^{\left(-\frac{\tan\left(\frac{\theta}{2}\right)}{\beta}\right)}$$
 (6)

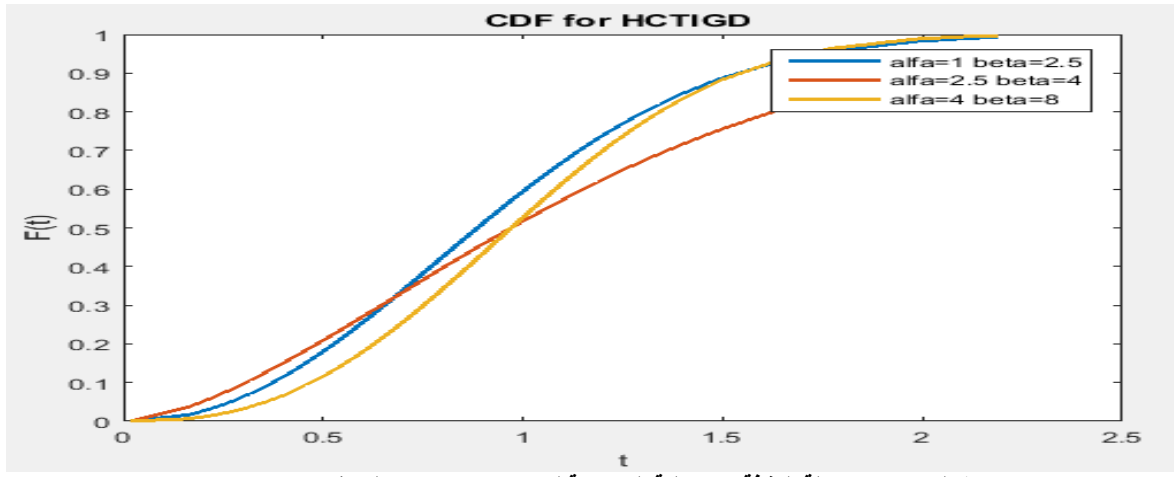
(ADZHAR et al , 2019) كالآتي:  $CTIG(\alpha, \beta)$ H وبذلك تكون دالة الكثافة الاحتمالية لتوزيع

$$g(\theta) = \frac{1}{\Gamma(\alpha)\beta^{\alpha}(1+\cos(\theta))} \tan\left(\frac{\theta}{2}\right)^{\alpha-1} exp^{\left(-\frac{\tan\left(\frac{\theta}{2}\right)}{\beta}\right)} ; 0 < \theta < \pi$$
 (7)

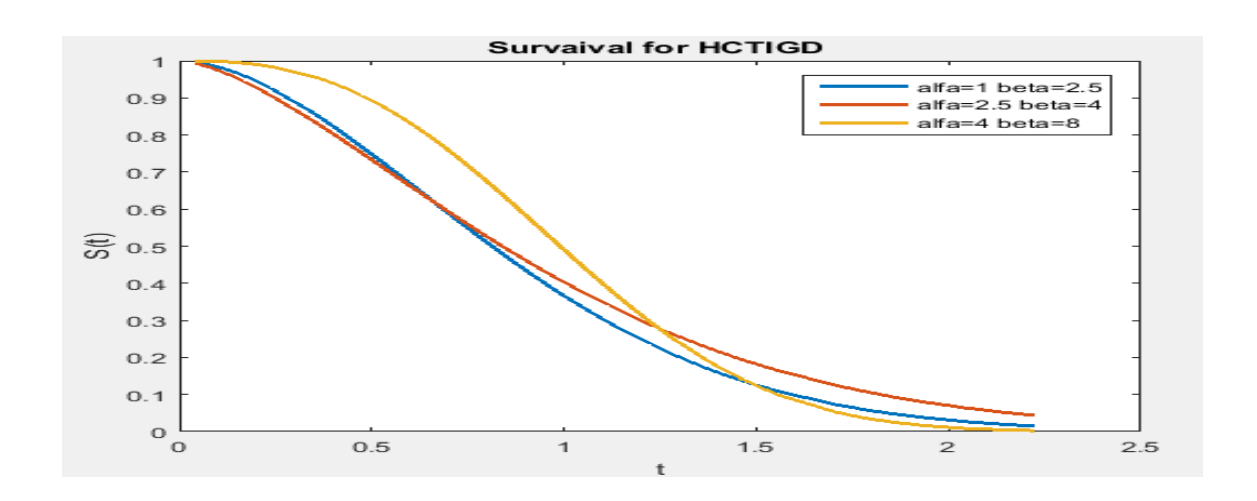


شكل(1) منحنى دالة الكثافة الاحتمالية لتوزيع معكوس كاما النصف دائري





شكل(2) منحنى دالة الكثافة الاحتمالية التجميعية لتوزيع معكوس كاما النصف دائري



شكل (3) منحنى دالة البقاء لتوزيع معكوس كاما النصف دائري

3. خصائص توزيع معكوس كاما النصف دائرى:

في هذه الفقرة سيتم مناقشة بعض خصائص التوزيع وكما يأتي:

3.1 دالة التوزيع التراكمية:

( Venables, W.N. & Ripley, B.D. 2002):ان دالة التوزيع التراكمية لتوزيع  $HCTIG(\alpha, \beta)$  تعطى بالشكل الأتي

$$G(\theta) = p(\Theta \le \theta) = p(2tan^{-1}\left(\frac{\theta}{2}\right) = \frac{1}{\Gamma(\alpha)\beta^{\alpha}} \int_{0}^{\tan\left(\frac{\theta}{2}\right)} x^{\alpha-1} exp^{\left(-\frac{x}{\beta}\right)} dx$$

$$= \frac{1}{\Gamma(\alpha)\beta^{\alpha}(1+\cos(\theta))} \gamma\left(\alpha, \frac{\tan\left(\frac{\theta}{2}\right)}{\beta}\right) \qquad ; 0 \le \Theta \le \pi$$
(8)

$$\chi(lpha,eta)=\int_0^x t^{lpha-1} \ exp^{(-t)}dt$$
 حيث أن  $\chi(lpha,eta)=\int_0^x t^{lpha-1} \ exp^{(-t)}dt$  حيث أن



#### 3.2 الدالة الأحادية:

فإن مشتقة دالة كثافة الاحتمال التي يتم تمثيلها بواسطة متعدد الحدود الرباعي هو توزيع أحادي النمط فقط إذا كانت الدالة المميزة لها سالبة. لاحظ أنه عندما تكون الدالة المميزة سالبة ، فإن متعددة الحدود التربعية لها جذرين حقيقيين وجذران مركبان. وسوف نبين هنا أن مشتقة توزيع HCTIG هي متعددة حدود خماسية. فباشتقاق المعادلة رقم (8) بالنسبة  $\theta$  نحصل على الدالة الاحادية لتوزيع Kato, S. & Jones, M.C. 2010) بالشكل الآتي (Kato, S. & Jones, M.C. 2010)

$$\frac{\partial}{\partial \theta} g(\theta) = \frac{\partial}{\partial \theta} \left[ \frac{1}{\Gamma(\alpha) \beta^{\alpha} (1 + \cos(\theta))} \tan\left(\frac{\theta}{2}\right)^{\alpha - 1} exp^{\left(-\frac{\tan\left(\frac{\theta}{2}\right)}{\beta}\right)} \right]$$

باستبدال  $(2\cos^2(\frac{\theta}{2}))$  با  $(1+\cos(\theta))$  نحصل على الآتي:

$$\frac{\partial}{\partial \theta} g(\theta) = \frac{\partial}{\partial \theta} \left[ \frac{1}{\Gamma(\alpha) \beta^{\alpha} (2\cos^{2}(\frac{\theta}{2}))} \tan\left(\frac{\theta}{2}\right)^{\alpha - 1} exp^{\left(-\frac{\tan\left(\frac{\theta}{2}\right)}{\beta}\right)} \right]$$

$$=\frac{1}{2\Gamma(\alpha)\beta^{\alpha}}\frac{\partial}{\partial\theta}sec^{2}\left(\frac{\theta}{2}\right)\tan\left(\frac{\theta}{2}\right)^{\alpha-1} exp^{\left(-\frac{\tan\left(\frac{\theta}{2}\right)}{\beta}\right)}$$

$$=\frac{1}{2\Gamma(\alpha)\beta^{\alpha}}\frac{\partial}{\partial\theta}sec^{2}\left(\frac{\theta}{2}\right)\tan\left(\frac{\theta}{2}\right)^{\alpha-1} exp^{\left(-\frac{\tan\left(\frac{\theta}{2}\right)}{\beta}\right)}$$

$$\therefore \frac{\partial}{\partial \theta} g(\theta) = \frac{1}{2\Gamma(\alpha)\beta^{\alpha}} exp^{\left(-\frac{\tan\left(\frac{\theta}{2}\right)}{\beta}\right)} \left\{ \tan\left(\frac{\theta}{2}\right)^{\alpha-1} sec^{2}\left(\frac{\theta}{2}\right) + \frac{\alpha-1}{2} \tan\left(\frac{\theta}{2}\right)^{\alpha-2} sec^{4}\left(\frac{\theta}{2}\right) \right\}$$

: يحصل على  $\sec^2(\theta) = 1 + \tan^{-1}(\frac{\theta}{2})$  وبوضع

$$\begin{split} &\frac{\partial}{\partial \theta} g(\theta) = \frac{1}{2\Gamma(\alpha)\beta^{\alpha}} exp^{\left(-\frac{\tan\left(\frac{\theta}{2}\right)}{\beta}\right)} \left\{ \tan\left(\frac{\theta}{2}\right)^{\alpha} + \tan\left(\frac{\theta}{2}\right)^{\alpha+2} + \\ &\frac{\alpha-1}{2} \left( \tan\left(\frac{\theta}{2}\right)^{\alpha-2} + 2tan^{\alpha} \left(\frac{\theta}{2}\right)^{\alpha} sec^{4} \left(\frac{\theta}{2}\right) \tan\left(\frac{\theta}{2}\right)^{\alpha+2} \right) - \frac{1}{2\beta} \left( \tan\left(\frac{\theta}{2}\right)^{\alpha-1} + 2\tan\left(\frac{\theta}{2}\right)^{\alpha+1} \right) + \\ &\tan\left(\frac{\theta}{2}\right)^{\alpha+3} \right) \right\} \end{split}$$

والان ليكن  $x = \tan(\frac{\theta}{2})$  نحصل على:

$$\frac{\partial}{\partial \theta} \mathbf{g}(\theta) = \frac{1}{2\Gamma(\alpha)\beta^{\alpha}} exp^{\left(-\frac{x}{\beta}\right)} \left\{ \frac{\alpha-1}{2} x^{\alpha-2} - \frac{1}{2\beta} x^{\alpha-1} + \alpha x^{\alpha} - \frac{1}{2\beta} x^{\alpha+1} + \frac{\alpha-1}{2} x^{\alpha+2} - \frac{1}{2\beta} x^{\alpha+3} \right\}$$



$$= \frac{1}{2\Gamma(\alpha)\beta^{\alpha}} exp^{\left(-\frac{x}{\beta}\right)} x^{\alpha-2} \left[ \frac{\alpha-1}{2} - \frac{1}{2\beta}x + \alpha x^{\alpha} - \frac{1}{2\beta}x^3 + \frac{\alpha-1}{2}x^4 - \frac{1}{2\beta}x^5 \right]$$
(9)

ويمكن كتابة المعادلة (9) بالشكل الآتي:

$$= A exp^{\left(-\frac{x}{\beta}\right)} x^{\alpha-2} [a_0 + a_1 x + a_2 x^2 + a_3 x^3 + a_4 x^4 + a_5 x^5]$$
 (10)

حيث أن:

A =

$$a_0 = \frac{\alpha - 1}{2}$$

$$a_1 = \frac{1}{2\beta}$$

$$a_2 = \alpha$$

$$a_3 = \frac{1}{2\beta}$$

$$a_4 = \frac{\alpha - 1}{2}$$

$$a_5 = \frac{1}{2\beta}$$

ان مميز الحدودية الخماسية بالمعاملات  $a_0, a_1, a_2, a_3, a_4, a_5$  الخماسية الأتية: (McKay, 1987) ان مميز الحدودية الخماسية بالمعاملات

$$D = 3125a_5^5 - 3750a_5^3 + 2000a_5^2a_4^2a_2 + 2260a_5^2a_4a_3^2 - 9000a_5^2a_4a_2^3 + 825a_5^2a_3^3a_2^3 + 108a_5^2a_2^3 - 16000a_5a_4^4a_3 + 560a_5a_4^2a_2^2 - 630a_5a_4a_2^3a_2 - 72a_5a_4a_3a_2^2 + 108a_5a_3^2 + 16a_5a_3^3a_2^3 + a_5D_4(1,0,a_2,a_3,a_4)$$

$$(11)$$

والمعادلة (11) لها لها خمسة جذور حقيقية (K=0) أو أربعة جذور مركبة وجذر حقيقي واحد (K=1) إذا كان المميز له قيمة موجبة. من ناحية أخرى ، له جذران مركبان وثلاثة جذور حقيقية إذا كان المميز سالبًا. وبالتالي ، فإن التوزيع هو توزيع أحادي النمط عندما يكون D>00 وهذه تتوافق مع الحالات ذات القيم الصغيرة والكبيرة لـ D0.

3.3 العزوم المثلثية لتوزيع HCTIG: (ADZHAR et al , 2019)

العزوم المثلثية لتوزيع معكوس كاما المحول تعطى بالشكل الآتى:



 $\varphi_m$ ;  $m=1,2,3\dots$ 

حيث أن:

$$\varphi_m = \alpha_m + i\beta_m; \ \alpha_m = E(\cos_m \Theta), \beta_m = E(\sin_m \Theta)$$
(12)

واللذان يمثلان العزوم المثلثي ذو الرتبة m للمعلمة العشوائية  $\Theta$  والذي يعطى بالصيغة الآتية:

$$\alpha_{m} = E(\cos_{m}\Theta) = \int_{0}^{\pi} cosm\theta dg(\theta)$$

$$= \int_{0}^{\pi} cosm\theta \frac{1}{\Gamma(\alpha)\beta^{\alpha}(1+\cos(\theta))} \tan\left(\frac{\theta}{2}\right)^{\alpha-1} exp^{\left(-\frac{\tan\left(\frac{\theta}{2}\right)}{\beta}\right)} d\theta$$

$$= \frac{1}{\Gamma(\alpha)\beta^{\alpha}} \int_{0}^{\pi} \frac{(cosm\theta)\tan\left(\frac{\theta}{2}\right)^{\alpha-1}}{(1+\cos(\theta))} exp^{\left(-\frac{\tan\left(\frac{\theta}{2}\right)}{\beta}\right)} d\theta$$

$$= \frac{1}{\Gamma(\alpha)\beta^{\alpha}} \int_{0}^{\pi} \frac{(cosm\theta)\tan\left(\frac{\theta}{2}\right)^{\alpha-1}}{(2cos^{2}\theta)} exp^{\left(-\frac{\tan\left(\frac{\theta}{2}\right)}{\beta}\right)} d\theta$$
(13)

وأن:

$$\beta_{m} = E(\sin_{m}\Theta) = \int_{0}^{\pi} cosm\theta \, dg(\theta)$$

$$= \int_{0}^{\pi} sinm\theta \frac{1}{\Gamma(\alpha)\beta^{\alpha}(1+\cos(\theta))} \tan\left(\frac{\theta}{2}\right)^{\alpha-1} exp^{\left(-\frac{\tan\left(\frac{\theta}{2}\right)}{\beta}\right)} d\theta$$

$$= \frac{1}{\Gamma(\alpha)\beta^{\alpha}} \int_{0}^{\pi} \frac{(sinm\theta)\tan\left(\frac{\theta}{2}\right)^{\alpha-1}}{(1+\cos(\theta))} exp^{\left(-\frac{\tan\left(\frac{\theta}{2}\right)}{\beta}\right)} d\theta$$

$$= \frac{1}{\Gamma(\alpha)\theta^{\alpha}} \int_{0}^{\pi} \frac{(sinm\theta)\tan\left(\frac{\theta}{2}\right)^{\alpha-1}}{(2\cos^{2}\theta)} exp^{\left(-\frac{\tan\left(\frac{\theta}{2}\right)}{\beta}\right)} d\theta$$
(14)

وبتعويض (14)و (13) في معادلة (12) نحصل على العزم المثلي لتوزيع HCTIG وكالاتي:

$$\boldsymbol{\varphi}_{m} = \frac{1}{\Gamma(\alpha)\beta^{\alpha}} \int_{0}^{\pi} \frac{(\cos m\theta) \tan(\frac{\theta}{2})^{\alpha-1}}{(2\cos^{2}\theta)} exp^{\left(-\frac{\tan(\frac{\theta}{2})}{\beta}\right)} d\theta + i \frac{1}{\Gamma(\alpha)\beta^{\alpha}} \int_{0}^{\pi} \frac{(\sin m\theta) \tan(\frac{\theta}{2})^{\alpha-1}}{(2\cos^{2}\theta)} exp^{\left(-\frac{\tan(\frac{\theta}{2})}{\beta}\right)} d\theta \quad (15)$$

4. تقدير معلمات توزيع HCTIG باستعمال طريقة الامكان الاعظم:



لنفرض أن  $\theta_1, \theta_2, ..., \theta_n$  عينة عشوائية بحجم  $\alpha$  مسحوبة من مجتمع HCTIG $(\alpha, \beta)$  المحول فان تقدير الامكان الاعظم  $\Gamma(\alpha, \beta)$  من  $\alpha, \beta$  يمكن الحصول عليهما بتعظيم دالة الامكان من  $\alpha, \beta$  فان دالة الامكان للعينة العشوائية  $\alpha, \beta$  من (Phani, Y et al , 2012) تعطى بالشكل الآتى:

$$L = \prod_{i=1}^{n} f(x_i) = \frac{\prod_{i=1}^{n} x^{\alpha-1}}{\Gamma(\alpha)^n \beta^{n\alpha}} exp^{\left(-\frac{\sum_{i=1}^{n} x_i}{\beta}\right)}$$
(16)

$$Log(L) = -n\log(\Gamma(\alpha)) - n\alpha\log(\beta) + (\alpha - 1)\sum_{i=1}^{n}\log(x_i) - \sum_{i=1}^{n}\frac{x_i}{\beta} - n\log(\Gamma(\alpha))$$
 (17)

$$\frac{\partial}{\partial \alpha} Log(L) = -\frac{n\Gamma'(\alpha)}{\Gamma(\alpha)} + \sum_{i=1}^{n} \log(x_i) - \frac{n\Gamma'(\alpha)}{\Gamma(\alpha)}$$
 (18)

$$\frac{\partial}{\partial \beta} Log(L) = -\frac{n\alpha}{\beta} + \frac{\sum_{i=1}^{n} x_i}{\beta^2}$$
 (19)

ونلاحظ من معادلة (18) و (19) انه لا يمكن حلهما بالطرائق التحليلية الاعتيادية لكونها معادلات غير خطية لذلك سيتم استعمال احدى الطرائق التكرارية العددية عن طريق استعمال الدالة ( $\hat{\alpha}_{mle}$ ) في برنامج ماتلاب لغرض إيجاد مقدر  $\hat{\beta}_{mle}$  و  $\hat{\alpha}_{mle}$ .

#### 5. تقدير معلمات توزيع HCTIG باستعمال طريقة العزوم:

تعتمد طريقة العزوم على ايجاد  ${f k}$  من عزوم المجتمع بدلالة  ${f k}$  من المعلمات , ثم مساواة عزم المجتمع بما يقابلها من عزوم العينة وبذلك نحصل على المقدرات المطلوبة.

لنفرض أن  $\theta_1, \theta_2, ..., \theta_n$  عينة عشوائية بحجم n مسحوبة من مجتمع HCTIG $(\alpha, \beta)$  المحول فان تقدير العزوم للمعلمات  $\theta_1, \theta_2, ..., \theta_n$  يمكن الحصول عليهما كالآتى:

ان العزم الأول والثاني لتوزيع (HCTIG) كالاتي:

$$\varphi_{1} = \frac{1}{\Gamma(\alpha)\beta^{\alpha}} \int_{0}^{\pi} \frac{(\cos m\theta) \tan(\frac{\theta}{2})^{\alpha-1}}{(2\cos^{2}\theta)} exp^{\left(-\frac{\tan(\frac{\theta}{2})}{\beta}\right)} d\theta + i \frac{1}{\Gamma(\alpha)\beta^{\alpha}} \int_{0}^{\pi} \frac{(\sin m\theta) \tan(\frac{\theta}{2})^{\alpha-1}}{(2\cos^{2}\theta)} exp^{\left(-\frac{\tan(\frac{\theta}{2})}{\beta}\right)} d\theta$$
(20)

$$\varphi_{2} = \frac{1}{\Gamma(\alpha)\beta^{\alpha}} \int_{0}^{\pi} \frac{(\cos m\theta) \tan(\frac{\theta}{2})^{\alpha-1}}{(2\cos^{2}\theta)} exp^{\left(-\frac{\tan(\frac{\theta}{2})}{\beta}\right)} d\theta + i \frac{1}{\Gamma(\alpha)\beta^{\alpha}} \int_{0}^{\pi} \frac{(\sin m\theta) \tan(\frac{\theta}{2})^{\alpha-1}}{(2\cos^{2}\theta)} exp^{\left(-\frac{\tan(\frac{\theta}{2})}{\beta}\right)} d\theta$$
(21)

وان العزم الأول والثاني للعينة كالأتي:

$$m_1 = \frac{1}{n} \sum_{i=1}^{n} x_i \tag{22}$$

$$m_2 = \frac{1}{n} \sum_{i=1}^{n} x_i^2 \tag{23}$$

وبمساواة عزوم المجتمع مع عزوم العينة نتتج لدينا المعادلتين الآتيتين:

$$\varphi_1 = \frac{1}{n} \sum_{i=1}^n x_i \tag{24}$$

$$\varphi_2 = \frac{1}{n} \sum_{i=1}^{n} x_i^2$$
 (25)



ونلاحظ من معادلة (24) و (25) انه لايمكن حلهما بالطرائق التحليلية الاعتيادية لكونها معادلات ليس لها صيغة محكمة نظرياً وليس لها صيغة مغلقة للحل لذلك سيتم استعمال المحاكاة عن طريق استعمال الدالة (f solve) في برنامج ماتلاب لغرض إيجاد مقدر  $\widehat{\alpha}_{mom}$  و  $\widehat{\beta}_{mom}$  . ( 2012 Xang, M–Z. & Shimizu, K. 2012)

#### 6. المحاكاة:

تم إجراء دراسة محاكاة مونت كارلو باستخدام برنامج MATLAB لاختبار قدرة طرق التقدير المعروضة في الفقرة (4) و (5)، حيث تم افتراض مجموعة متنوعة من المعلمات النظرية لتوزيع HCTIG وهي  $\alpha=0.1,2,6$  و أحجام عينات مفترضة هي (25,50،75،100) و التكرار (1000) و لكل تجربة محاكاة للحصول على تجانس النتائج. تمت مقارنة النتائج باستخدام المعايير MSE و MAPE و MAPE. و أظهرت دراسة المحاكاة تفضيل طريقة الامكان الأعظم على طريقة العزوم في أحجام العينات.

Table (1) Results of simulation under all sample sizes and theoretical parameters  $\alpha=0.1$   $\beta=0.2$ 

N	Method		â	β	
		Parameter	0.43118	0.92011	
	Mle	MSE	0.033442	0.043528	
25		MAPE	0.120095	0.334486	
23		Parameter	0.199765	0.239132	
	Mom	MSE	0.004383	0.004733	
	_	MAPE	0.023644	0.022435	
Best			Mom	Mom	
		Parameter	0.184587	0.310333	
	Mle	MSE	0.003511	0.002911	
50		MAPE	0.026894	0.032228	
30		Parameter	1.132167	1.321456	
	Mom	MSE	0.154042	0.095019	
		MAPE	0.116574	0.170389	
Best			Mle	Mle	
		Parameter	0.203439	0.306655	
	Mle	MSE	0.00345	0.003476	
75		MAPE	0.01943	0.034451	
75		Parameter	2.238777	2.468719	
	Mom	MSE	0.118367	0.09894	
		MAPE	0.118729	0.18177	
Best			Mle	Mle	
		Parameter	0.156565	0.149285	
100	Mle	MSE	0.003758	0.002913	
		MAPE	0.021943	0.030976	



		Parameter	2.507781	2.32119	
	Mom	MSE	0.002156	0.004016	
		MAPE	0.019604	0.031698	
Best			Mle		Mle

Table (2) Results of simulation under all sample sizes and theoretical parameters

 $\alpha = 0.2$   $\beta = 0.1$ 

Parameter 1.989226  MIe MSE 0.155568  MAPE 0.139612  Parameter 0.230176	1.76112 0.083361 0.179027 0.445712
MAPE 0.139612	0.179027
25	
	0.445712
Mom MSE 0.003323	0.003438
MAPE 0.019751	0.033887
Best Mom	Mor
Parameter 0.48678	0.399983
Mle MSE 0.003353	0.003315
MAPE 0.020124	0.033493
Parameter 1.166672	1.119849
Mom MSE 0.125537	0.081299
MAPE 0.124465	0.166712
Best	MI
Parameter 0.210178	0.402288
Mle MSE 0.003377	0.00297
MAPE 0.020228	0.02959
Parameter 0.189222	0.293357
Mom MSE 2.132843	1.086648
MAPE 0.127653	0.169737
Best Mle	MI
Parameter 0.257882	0.193444
Mle MSE 0.003264	0.003773
MAPE 0.019688	0.036724
Parameter 0.228891	0.145921
Mom MSE 0.002818	0.002913
MAPE 0.068021	0.028824
Best Mie	Mle



Table (3) Results of simulation under all sample sizes and theoretical parameters

 $\alpha = 6$   $\beta = 8$ 

n	Method		$\widehat{\boldsymbol{ heta}}$	â
		Parameter	9.677578	10.21145
	Mle	MSE	0.126176	0.082487
25		MAPE	0.123127	0.164677
25		Parameter	6.95979	9.080061
	Mom	MSE	0.003311	0.003165
		MAPE	0.020167	0.021799
Best			Mom	Mom
		Parameter	6.26822	8.003373
	Mle	MSE	0.003219	0.003255
50		MAPE	0.020188	0.031765
30		Parameter	8.578911	9.396541
	Mom	MSE	0.127152	0.072488
		MAPE	0.123323	0.164693
Best			Mle	Mle
		Parameter	6.967881	8.111176
	Mle	MSE	0.003513	0.003441
75		MAPE	0.020176	0.032902
73		Parameter	1.677211	2.301118
	Mom	MSE	9.118736	9.0880924
		MAPE	0.118812	0.16923
Best			Mle	Mle
		Parameter	6.045555	8.050336
	Mle	MSE	0.004477	0.003077
100		MAPE	0.020732	0.029911
100		Parameter	9.948334	9.114566
	Mom	MSE	0.002642	0.003295
		MAPE	0.018841	0.032528
Best			Mle	Mle

ولغرض المقارنة بين توزيع كاما وتوزيع معكوس كاما النصف دائري من حيث دقة التقدير تم اجراء مقارنة عن طريق استعمال المعايير الاحصائية AIC و AICc و HQIC كما مبين في جدول (4):

يبين جدول (4) نتائج اختبارات حسن المطابقة الأربعة والتي طبقت على توزيع كاما وتوزيع معكوس كاما النصف دائري



#### جدول (4) نتائج معايير المقارنة بين التوزيعين

Distribution	Parameters estimation		AIC	AICc	BIC	HQIC
HCTIG	0.12	0.14	381.22	381.03	368.95	14.89
Gamma	0.98	0.78	418.92	418.03	422.95	15.08

يتبين من جدول (4) بان معايير الاختبارات الخاصة بتوزيع كاما المعكوس النصف دائري كانت اقل من توزيع كاما الاعتيادي، وهذا يدل عن افضلية التوزيع المحول في التقدير.

#### 7. الاستنتاجات:

- 1. اثبت توزيع كاما المعكوس النصف دائري HCTIG كفاءته على توزيع كاما الاعتيادي Gamma بحيث حقق اقل معايير المقارنة بينه وبين توزيع كاما.
- 2. تفوق طريقة الامكان الاعظم MLEعلى طريقة العزوم MOMفي تقدير معلمات توزيع HCTIG وخاصة عند احجام العينات الكبيرة (50,75,100)
  - 3. المعلمات المقدرة كانت اقرب الى المعلمات الافتراضية عند تقدير التوزيع المحول النصف دائري HCTIG.

#### 8. المصادر:

- ADZHAR RAMBLI, IBRAHIM MOHAMED, KUNIO SHIMIZU & NORLINA MOHD RAMLI, (2019), " A Half-Circular Distribution on a Circle", Sains Malaysiana 48(4)(2019): 887–892 http://dx.doi.org/10.17576/jsm-2019-4804-21
- 2. Dodge, Y. (2006) The Oxford Dictionary of Statistical Terms. OUP. ISBN 0-19-920613-9.
- 3. Gato, R. & Jammalamadaka, S.R. 2003. Inference for wrapped symmetric a-stable circular models. The Indian Journal of Statistics 65(2): 333-355.
- 4. Jammalamadaka, S.R. & SenGupta, A. 2001. Topics in Circular Statistics. Singapore: World Scientific.
- 5. Jones, M.C. & Pewsey, A. 2005. A family of symmetric distributions on the circle. Journal of the American Statistical Association 100: 1422–1428.
- 6. Kato, S. & Jones, M.C. 2010. A family of distributions on the circle with links to, and applications arising from, Möbius transformation. Journal of the American Statistical Association 105: 222–229.
- 7. Lund, U. 1999. Least circular distance regression for directional data. Journal of Applied Statistics 26: 723–733.
- 8. Mardia, K.V. 1972. Statistics of Directional Data. London: Academic.
- 9. Mardia, K.V. & Jupp, P.E. 2000. Directional Statistics. 2nd ed. Chichester: Wiley.
- 10. McKay, J. 1987. On computing discriminants. The American Mathematical Monthly 94(6): 523-527.
- 11. Minh, D.L.P. & Farnum, N.R. 2003. Using bilinear transformations to induce probability distributions. Communications in Statistics-Theory and Methods 32: 1–9.
- 12. Phani, Y., Girija, S.V.S. & Rao, A.V.D. 2012. Circular model induced by inverse stereographic projection on extreme-value distribution. Engineering Science and Technology 2(5): 881–888.
- 13. Venables, W.N. & Ripley, B.D. 2002. Modern Applied Statistics with S. 4th ed. New York: Springer.
- 14. Wang, M–Z. & Shimizu, K. 2012. On applying Möbius transformation to cardioids random variables. Statistical Methodology 9: 604–614.